



Fourierova transformacija vremenski diskretnih periodičnih signala

- Fourierovom transformacijom vremenski diskretnom periodičnom signalu, definiranom u vremenskoj domeni, pridružuje se frekvencijski diskretna periodična signal, definiran u frekvencijskoj domeni²
- to pridruživanje označujemo kao *DTFS*, prema engleskom Discrete-time Fourier Series, i definiramo kao

$$DTFS : DisktPeriod_N \rightarrow DisktPeriod_N$$

$$N \in \text{Cjelobrojni}, \quad k = 0, 1, \dots, N-1,$$

$$X_k = \frac{1}{N} \sum_{n=0}^{N-1} x(n) e^{-jk \frac{2\pi}{N} n}$$

$$\text{za } \forall x \in DisktPeriod_N \text{ i } \forall X \in DisktPeriod_N$$

² u literaturi se ta činjenica ponekad naglašuje s oznakama $\tilde{x}(n)$, odnosno, \tilde{X}_k



Inverzna Fourierova transformacija vremenski diskretnih periodičnih signala

- inverznom Fourierovom transformacijom frekvencijski diskretnom periodičnom signalu (spektaru), definiranom u frekvencijskoj domeni, pridružuje se vremenski diskretna periodična signal, definiran u vremenskoj domeni
- to pridruživanje označujemo *IDTFS*, prema engleskom Inverse Discrete-time Fourier Series, i definiramo kao

$$IDTFS : DisktPeriod_N \rightarrow DisktPeriod_N$$

$$N \in \text{Cjelobrojni}, \quad n = 0, 1, \dots, N-1,$$

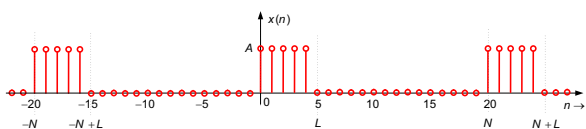
$$x(n) = \sum_{k=0}^{N-1} X_k e^{jk \frac{2\pi}{N} n}$$

$$\text{za } \forall X \in DisktPeriod_N \text{ i } \forall x \in DisktPeriod_N$$



Fourierova transformacija vremenski diskretnih periodičnih signala – primjer

- određuje se Fourierova transformacija periodičnog vremenski diskretnog pravokutnog signala kao

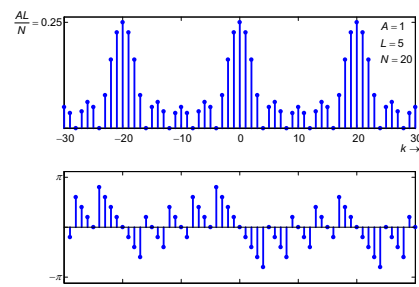


$$X_k = \frac{1}{N} \sum_{n=0}^{N-1} x(n) e^{-jk \frac{2\pi}{N} n} = \frac{1}{N} \sum_{n=0}^{L-1} A e^{-jk \frac{2\pi}{N} n} = \begin{cases} \frac{AL}{N} & k = 0 \\ \frac{A}{N} \frac{1 - e^{-jk \frac{2\pi}{N} L}}{1 - e^{-jk \frac{2\pi}{N}}} & k = 1, 2, \dots, N-1 \end{cases}$$



Fourierova transformacija vremenski diskretnih periodičnih signala – primjer

$$X_k = \begin{cases} \frac{AL}{N} & k = 0, \pm N, \pm 2N, \dots \\ \frac{A}{N} e^{-jk \frac{\pi}{N} (L-1)} \frac{\sin(k \frac{\pi}{N} L)}{\sin(k \frac{\pi}{N})} & \text{inače} \end{cases}$$



Periodična konvolucija

- neka su $\tilde{x}(n)$ i $\tilde{y}(n)$ periodični signali čiji su DTFS

$$\tilde{X}_k = \frac{1}{N} \sum_{p=0}^{N-1} \tilde{x}(p) e^{-jk \frac{2\pi}{N} p} \quad \tilde{Y}_k = \frac{1}{N} \sum_{q=0}^{N-1} \tilde{y}(q) e^{-jk \frac{2\pi}{N} q}$$

- želimo odrediti niz $\tilde{w}(n)$ čiji je DTFS jednak $N \tilde{X}_k \tilde{Y}_k$

$$\tilde{W}_k = N \tilde{X}_k \tilde{Y}_k = N \frac{1}{N} \sum_{p=0}^{N-1} \tilde{x}(p) e^{-jk \frac{2\pi}{N} p} \cdot \frac{1}{N} \sum_{q=0}^{N-1} \tilde{y}(q) e^{-jk \frac{2\pi}{N} q}$$

$$\tilde{w}(n) = \sum_{k=0}^{N-1} (N \tilde{X}_k \tilde{Y}_k) e^{jk \frac{2\pi}{N} n} = \sum_{p=0}^{N-1} \tilde{x}(p) \sum_{q=0}^{N-1} \tilde{y}(q) \left[\frac{1}{N} \sum_{k=0}^{N-1} e^{jk \frac{2\pi}{N} (n-p-q)} \right] \quad (1)$$



Periodična konvolucija

- promatramo $\tilde{w}(n)$ za $0 \leq n \leq N-1$ i dio jednadžbe (1)

$$\frac{1}{N} \sum_{k=0}^{N-1} e^{jk \frac{2\pi}{N} (n-p-q)} = \begin{cases} 1, & \text{za } q = (n-p) + rN \\ 0, & \text{inače} \end{cases}$$

$$\text{za } \forall r \in \mathbb{Z}$$

- pa (1) prelazi u jednadžbu koja podsjeća na linearnu konvoluciju i naziva se periodična konvolucija

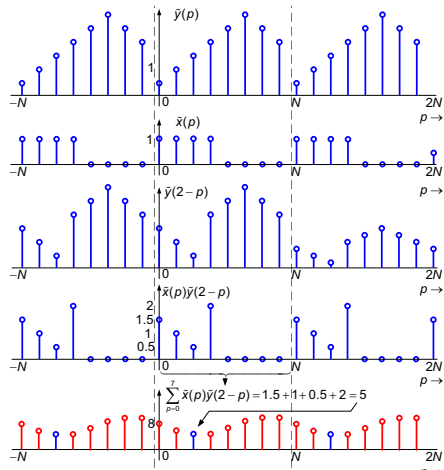
$$\tilde{w}(n) = \sum_{p=0}^{N-1} \tilde{x}(p) \tilde{y}(n-p)$$

- periodična konvolucija dvaju periodičnih vremenski diskretnih signala, perioda N , rezultira u periodičnom³ vremenski diskretnom signalu perioda N

³ nizovi $\tilde{x}(p)$ i $\tilde{y}(n-p)$ su periodični po p s periodom N pa je i njihov produkt periodičan



Periodična konvolucija

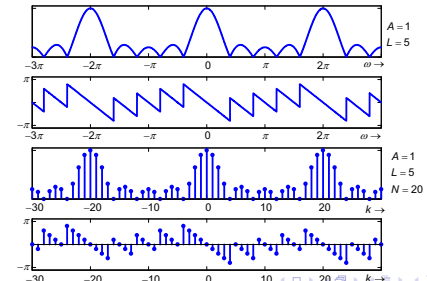


13



Fourierova transformacija vremenski diskretnih signala – primjer

- uspoređuju se spektri vremenski diskretnih aperiodičnih i periodičnih signala
- može se uočiti kako je $X_k = \frac{1}{N} X(k \frac{2\pi}{N})$, dakle, spektar periodičnog signala možemo promatrati kao frekvencijski otipkani spektar aperiodičnog signala



14



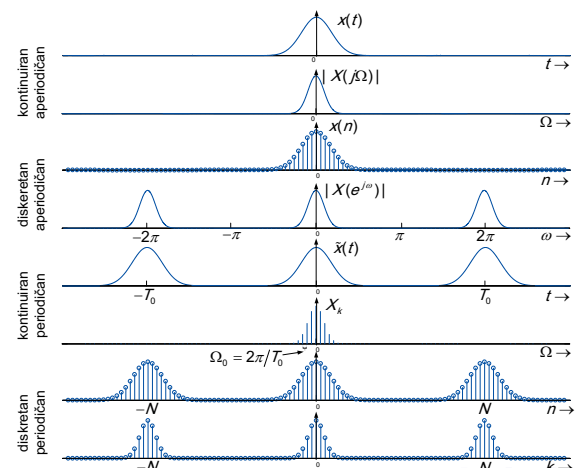
Fourierove transformacije

	aperiodičan	periodičan
kontinuirani	<p>CTFT : KontSignali \rightarrow KontSignali</p> $X(j\Omega) = \int_{-\infty}^{\infty} x(t) e^{-j\Omega t} dt$ <p>ICTFT : KontSignali \rightarrow KontSignali</p> $x(t) = \frac{1}{2\pi} \int_{-\infty}^{\infty} X(j\Omega) e^{j\Omega t} d\Omega$	<p>CTFS : KontPeriod₀ \rightarrow DisktSignali</p> $X_k = \frac{1}{T_0} \int_{T_0} x(t) e^{-jk\Omega_0 t} dt$ <p>ICTFS : DisktSignali \rightarrow KontPeriod₀</p> $x(t) = \sum_{k=-\infty}^{\infty} X_k e^{jk\Omega_0 t}$
diskretni	<p>DTFT : DisktSignali \rightarrow KontPeriod_{2π}</p> $X(e^{j\omega}) = \sum_{n=-\infty}^{\infty} x(n) e^{-j\omega n}$ <p>IDTFT : KontPeriod_{2π} \rightarrow DisktSignali</p> $x(n) = \frac{1}{2\pi} \int_{-\pi}^{\pi} X(e^{j\omega}) e^{j\omega n} d\omega$	<p>DTFS : DisktPeriod_N \rightarrow DisktPeriod_N</p> $X_k = \frac{1}{N} \sum_{n=0}^{N-1} x(n) e^{-jk\frac{2\pi}{N}}$ <p>IDTFS : DisktPeriod_N \rightarrow DisktPeriod_N</p> $x(n) = \sum_{k=0}^{N-1} X_k e^{jk\frac{2\pi}{N} n}$

15



Fourierove transformacije⁴



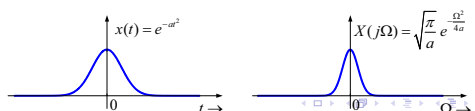
16



Fourierova transformacija – primjer Gaussov impuls

- pokazuje se kako je Fourierova transformacija aperiodičnog vremenski kontinuiranog signala $x(t) = e^{-at^2}$, $\forall t \in \text{Realni}$, opet Gaussov impuls

$$\begin{aligned}
 X(j\Omega) &= \int_{-\infty}^{\infty} e^{-at^2} e^{-j\Omega t} dt = \int_{-\infty}^{\infty} e^{-(at^2 + j\Omega t)} dt = \\
 &= \int_{-\infty}^{\infty} e^{-[\sqrt{a}t + \frac{j\Omega}{2\sqrt{a}}]^2 + \frac{\Omega^2}{4a}} dt = e^{-\frac{\Omega^2}{4a}} \int_{-\infty}^{\infty} e^{-\left(\sqrt{a}t + \frac{j\Omega}{2\sqrt{a}}\right)^2} dt \\
 &= \frac{1}{\sqrt{a}} e^{-\frac{\Omega^2}{4a}} \underbrace{\int_{-\infty}^{\infty} e^{-\beta^2} d\beta}_{\sqrt{\pi}} = \sqrt{\frac{\pi}{a}} e^{-\frac{\Omega^2}{4a}}
 \end{aligned}$$

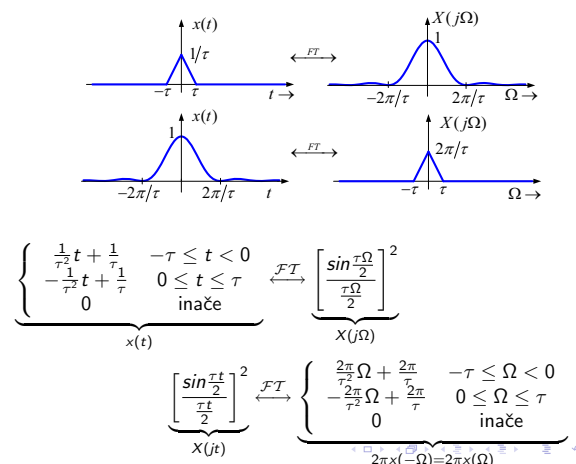


17



Spektar vrem. omeđenih i vrem. neomeđenih signala

- razmatraju se transformacije sljedećih signala (dualnost!)



18



Spektar vrem. omeđenih i vrem. neomeđenih signala

- iz prethodnih prikaznica zaključujemo:
 - signal neomeđen u vremenu može imati frekvencijski neomeđen spektar - primjer Gaussovih impulsa u obje domene
 - spektar vremenski omeđenog signala je frekvencijski neomeđen - primjer pravokutni ili trokutni impuls
 - frekvencijski omeđeni spektar je spektar vremenski neomeđenog signala - primjer signala $\sin(t)/t$, ili $\sin^2(t)/t^2$
 - signal i njegov spektar ne mogu biti istovremeno omeđeni u obje domene



Trajanje signala i širina frekvencijskog pojasa spektra signala

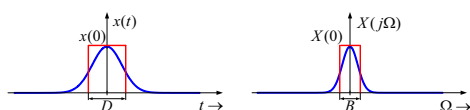
- u više je navrata pokazana bliska veza trajanja signala i odgovarajuće širine spektra signala
- tako u slučaju pravokutnog impulsa, spektar se "širi" kako se trajanje impulsa "skraćuje" (unatoč činjenici da je spektar pravokutnog impulsa frekvencijski neomeđen)
- za spektar pravokutnog signala se također može zaključiti kako, iako frekvencijski neomeđen, većina spektra ipak koncentrirana u nekom konačnom intervalu,
- taj interval možemo nazvati širina frekvencijskog pojasa spektra, i korisno je definirati odgovarajuću mjeru za trajanje signala, odnosno širinu frekvencijskog pojasa njegovog spektra



Trajanje signala i širina frekvencijskog pojasa spektra signala

- postoji više načina definicije trajanja signala i širine frekvencijskog pojasa spektra signala a ovdje se navodi postupak koji nazivamo, prema engleskom, pravokutnik iste površine (Equal-Area Rectangle)

- razmatramo parni realan signal



- prema ovoj definiciji trajanje signala $x(t)$ je trajanje pravokutnog signala koji je iste površine i visine kao sam signal $x(t)$
- identično se definira širina frekvencijskog pojasa spektra signala



Trajanje signala i širina frekvencijskog pojasa spektra signala

- uz

$$X(j\Omega) = \int_{-\infty}^{\infty} x(t)e^{-j\Omega t} dt \quad \& \quad x(t) = \frac{1}{2\pi} \int_{-\infty}^{\infty} X(j\Omega)e^{j\Omega t} d\Omega$$

- i uz

$$\underbrace{\int_{-\infty}^{\infty} x(t) dt}_{X(0)} = Dx(0) \quad \& \quad \underbrace{\int_{-\infty}^{\infty} X(j\Omega) d\Omega}_{2\pi x(0)} = BX(0)$$

- slijedi

$$D = \frac{X(0)}{x(0)} \quad \& \quad B = 2\pi \frac{x(0)}{X(0)} \quad \Rightarrow \quad DB = 2\pi$$



Trajanje signala i širina frekvencijskog pojasa spektra signala

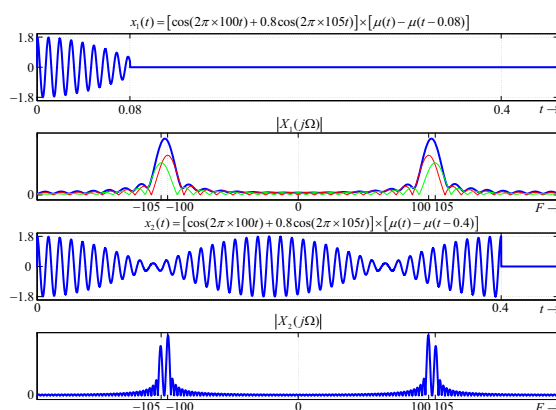
- očigledno su trajanje signala i širina frekvencijskog pojasa njegovog spektra recipročni
- dakle, skraćivanje trajanja signala rezultira u širenju frekvencijskog pojasa spektra (i obrnuto)
- zaključujemo kako je produkt

(trajanje signala) \times (frekvencijski pojas spektra) = konstanta

- ova činjenica je od velike važnosti u nizu primjena, a posebno u komunikacijama
- naredni primjer ilustrira utjecaj trajanja signala na njegov spektar



Trajanje signala i širina frekvencijskog pojasa spektra signala





Digitalna obradba kontinuiranih signala

- digitalna obradba vremenski kontinuiranih signala sastoji se od tri osnovna koraka
 - pretvorba vremenski kontinuiranog signala u vremenski diskretan signal
 - obradba vremenski diskretnog signala
 - pretvorba obrađenog diskretnog signala u vremenski kontinuiran signal
- ovdje se pokazuje pod kojim uvjetima treba diskretizirati vremenski kontinuirani signal kako bi se mogao obrađivati kao vremenski diskretan signal



Vremenska diskretizacija tipkanjem kontinuiranog signala

- pokazano je kako se otipkavanjem kontinuiranog signala $x(t)$ čiji je spektar $X(j\Omega)$, dobiva signal $x_s(t)$ čiji je spektar periodičan i vrijedi

$$X_s(j\Omega) = \frac{1}{T} \sum_{k=-\infty}^{\infty} X(j(\Omega - k\frac{2\pi}{T})) = \frac{1}{T} \sum_{k=-\infty}^{\infty} X(j(\Omega - k\Omega_s))$$

dakle, spektar otipkanog signala $X_s(j\Omega)$ je periodično ponavljani spektar $X(j\Omega)$ kontinuiranog signala

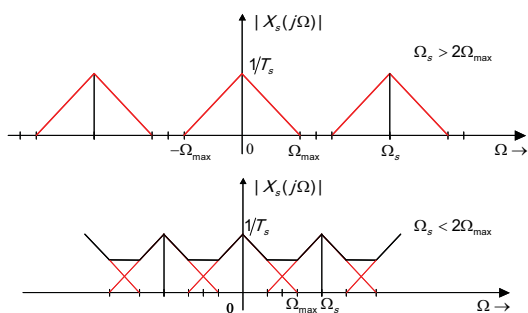
- pretpostavimo da je spektar $X(j\Omega)$ frekvencijski ograničen

$$X(j\Omega) = 0 \text{ za } |\Omega| > \Omega_{\max}$$

- različite frekvencije tipkanja signala $\Omega_s = \frac{2\pi}{T}$ mogu u spektru $X_s(j\Omega)$ izazvati različite rezultate zavisno od toga je li $\Omega_s - \Omega_{\max} > \Omega_{\max} \Rightarrow \Omega_s > 2\Omega_{\max}$ ili $\Omega_s - \Omega_{\max} < \Omega_{\max} \Rightarrow \Omega_s < 2\Omega_{\max}$



Vremenska diskretizacija tipkanjem kontinuiranog signala



- za frekvenciju otipkavanja $\Omega_s < 2\Omega_{\max}$, na donjoj slici, javlja se preklapanje ponavljajućih sekcija spektra, i ta se pojava naziva, prema engleskoj terminologiji, aliasing



Shannonov teorem otipkavanja

- vremenski diskretni signal smatramo ekvivalentnim kontinuiranom ako je moguće rekonstruirati izvorni signal $x(t)$ iz otipkanog $x_s(t)$, odnosno, ako se iz spektra $X_s(j\Omega)$ može dobiti originalni $X(j\Omega)$
- postupak rekonstrukcije pretpostavlja izdvajanje osnovne sekcije spektra filtriranjem a to će biti moguće samo ako je spektar $X(j\Omega)$ ograničen na Ω_{\max} te ako je frekvencija otipkavanja $\Omega_s > 2\Omega_{\max}$
- gore kazano predstavlja Shannonov teorem i možemo ga precizno iskazati kao:⁵

Vremenski kontinuirani signal $x(t)$, s frekvencijama ne većim od F_{\max} , može biti egzaktno rekonstruiran iz svojih uzoraka $x(n) \triangleq x(nT)$, ako je otipkavanje provedeno s frekvencijom $F_s = \frac{1}{T}$ koja je veća od $2F_{\max}$

⁵teorem je iskazan, kao što je uobičajeno, frekvencijom u Hz uzimajući u obzir $\Omega = 2\pi F$



Primjer otipkavanja aperiodičnog vremenski kontinuiranog signala

- otipkava se signal (slika na narednoj prikaznici)

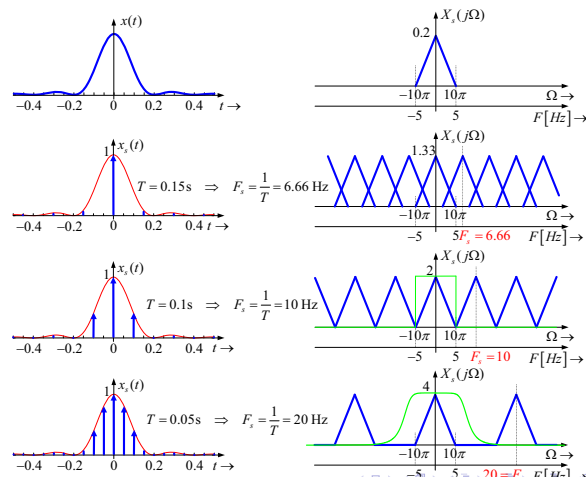
$$x(t) = \left[\frac{\sin \frac{\pi t}{2}}{\frac{\pi t}{2}} \right]^2$$

uz $\tau = 10\pi$ i $T = 0.15; 0.1; 0.05$;

- minimalna frekvencija otipkavanja za koju je moguća rekonstrukcija signala x iz njegovih uzoraka x_s naziva se Nyquistova frekvencija
- za ovaj primjer Nyquistova frekvencija iznosi 10 Hz
- otipkavanje s $T = 0.15$ s, što znači s frekvencijom otipkavanja $F_s = 6.66$ Hz, je slučaj podotipkavanja i dolazi do pojave frekvencijskog aliasinga
- slučaj otipkavanja s $T = 0.05$ s, dakle $F_s = 20$, predstavlja tzv. nadotipkavanje i omogućuje rekonstrukciju signala primjenom realnih filtera

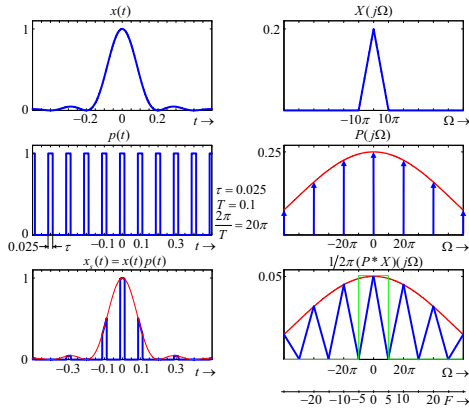


Otipkavanje vremenski kontinuiranog signala





Primjer otipkavanja pravokutnim impulsima



korištenjem idealnog filtra moguća potpuna rekonstrukcija kontinuiranog signala (uz skaliranje amplitude s faktorom 0.25)

31



Primjer otipkavanja pravokutnim impulsima

$$P(j\Omega) = 2\pi \sum_{k=-\infty}^{\infty} P_k \delta(\Omega - k \frac{2\pi}{T});$$

$$P_k = \frac{\tau}{T} \frac{\sin \frac{k\pi\tau}{T}}{\frac{k\pi\tau}{T}} = 0.25 \frac{\sin(0.25k\pi)}{0.25k\pi}$$

$$\mathcal{F}\{x(t)p(t)\} = \frac{1}{2\pi} \int_{-\infty}^{\infty} X(j(\Omega - \Psi)) P(j\Psi) d\Psi$$

$$= \frac{1}{2\pi} \int_{-\infty}^{\infty} X(j(\Omega - \Psi)) \left[2\pi \sum_{k=-\infty}^{\infty} P_k \delta(\Psi - k \frac{2\pi}{T}) \right] d\Psi$$

$$= \sum_{k=-\infty}^{\infty} P_k \left[\int_{-\infty}^{\infty} X(j(\Omega - \Psi)) \delta(\Psi - k \frac{2\pi}{T}) d\Psi \right]$$

$$= \sum_{k=-\infty}^{\infty} P_k X(j(\Omega + k \frac{2\pi}{T})) = \sum_{k=-\infty}^{\infty} \frac{\sin 0.25k\pi}{k\pi} X(j(\Omega + 20\pi k))$$

32



Obnavljanje ili rekonstrukcija vremenski kontinuiranog signala iz vremenski diskretnog

- periodični se spektar $X_s(j\Omega)$, nastao otipkavanjem, može dobiti i iz

$$x_s(t) = x(t) \sum_{n=-\infty}^{\infty} \delta(t - nT) = \sum_{n=-\infty}^{\infty} x(nT) \delta(t - nT)$$

$$X_s(j\Omega) = \int_{-\infty}^{\infty} x_s(t) e^{-j\Omega t} dt =$$

$$= \int_{-\infty}^{\infty} \sum_{n=-\infty}^{\infty} x(nT) \delta(t - nT) e^{-j\Omega t} dt =$$

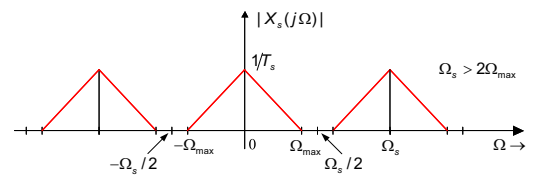
$$= \sum_{n=-\infty}^{\infty} x(nT) e^{-j\Omega nT}$$

u dobivenom izrazu se može prepoznati Fourierov red za periodični spektar $X_s(j\Omega)$

33



Obnavljanje ili rekonstrukcija vremenski kontinuiranog signala iz vremenski diskretnog



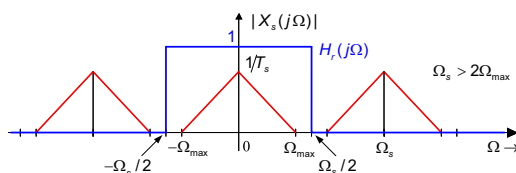
Da bi se dobila osnovna sekcija spektra $X_s(j\Omega)$ odnosno po mogućnosti $X(j\Omega)$, potrebno je izvršiti filtraciju $X_s(j\Omega)$ s tzv. rekonstrukcijskim filtrom frekvencijske karakteristike $H_r(j\Omega)$,

$$X_c(j\Omega) = X_s(j\Omega) H_r(j\Omega)$$

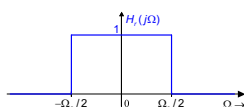
34



Obnavljanje ili rekonstrukcija vremenski kontinuiranog signala iz vremenski diskretnog



pretpostavimo kako je $H_r(j\Omega)$ idealan filter čija je frekvencijska karakteristika dana na slici



$$H_r(j\Omega) = \begin{cases} 1 & |\Omega| < \frac{\Omega_s}{2} = \frac{\pi}{T} \\ 0 & |\Omega| > \frac{\Omega_s}{2} = \frac{\pi}{T} \end{cases}$$

35



Obnavljanje ili rekonstrukcija vremenski kontinuiranog signala iz vremenski diskretnog

Neka je frekvencija otipkavanja $\Omega_s > 2\Omega_{max}$, tako da unutar pojasa ponavljanja $(-\Omega_s/2, \Omega_s/2)$ nema preklapanja sekcija spektra. Tada je

$$X_s(j\Omega) H_r(j\Omega) = \frac{1}{T} X(j\Omega)$$

uz prije izvedeno

$$X_s(j\Omega) = \sum_{n=-\infty}^{\infty} x(nT) e^{-j\Omega nT}$$

slijedi

$$\frac{1}{T} X(j\Omega) = H_r(j\Omega) \left[\sum_{n=-\infty}^{\infty} x(nT) e^{-j\Omega nT} \right]$$

36



Obnavljanje ili rekonstrukcija vremenski kontinuiranog signala iz vremenski diskretnog

Inverznom Fourierovom transformacijom spektra $X(j\Omega)$ slijedi:

$$\begin{aligned} x(t) &= \frac{1}{2\pi} \int_{-\infty}^{\infty} X(j\Omega) e^{j\Omega t} d\Omega = \\ &= \frac{T}{2\pi} \int_{-\infty}^{\infty} H_r(j\Omega) \left[\sum_{n=-\infty}^{\infty} x(nT) e^{-j\Omega nT} \right] e^{j\Omega t} d\Omega = \\ &= \frac{T}{2\pi} \sum_{n=-\infty}^{\infty} x(nT) \int_{-\Omega_s/2}^{\Omega_s/2} e^{j\Omega(t-nT)} d\Omega \Rightarrow \\ x(t) &= \sum_{n=-\infty}^{\infty} x(nT) \frac{\sin \frac{\pi}{T}(t-nT)}{\frac{\pi}{T}(t-nT)} \end{aligned}$$

Kontinuirani signal $x(t)$ rekonstruiran je iz uzoraka otipkanog signala $x(nT)$ interpolacijom s funkcijom

$$\frac{1}{T} \frac{\sin(\pi t/T)}{\pi t/T}$$

37



Obnavljanje ili rekonstrukcija vremenski kontinuiranog signala iz vremenski diskretnog

Možemo zaključiti kako je vremenski kontinuirani signal $x(t)$, koji ima frekvencijski omeđen spektar tj. $X(j\Omega) = 0$ za $|\Omega| > \Omega_s/2$, jednoznačno određen trenutnim vrijednostima u jednoliko raspoređenim trenucima $t_n = nT = n\frac{2\pi}{\Omega_s}$.

Interpolacijska funkcija predstavlja impulsni odziv⁶ idealnog filtra

$$h_r(t) = \frac{1}{T} \frac{\sin(\pi t/T)}{\pi t/T}$$

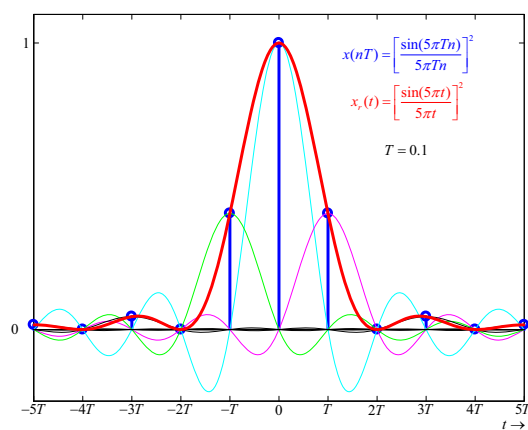
Idealni filter ima nekauzalni impulsni odziv (odziv na impuls počinje prije nego se impuls pojavio) i prema tome je neostvariv.

⁶ Impulsni se odziv definira kao odziv na jedinični impuls, i detaljno razmatra kasnije. Ovdje kažimo kako se impulsni odziv može odrediti kao inverzna Fourierova transformacija frekvencijske karakteristike filtra

38



Obnavljanje ili rekonstrukcija vremenski kontinuiranog signala iz vremenski diskretnog



39



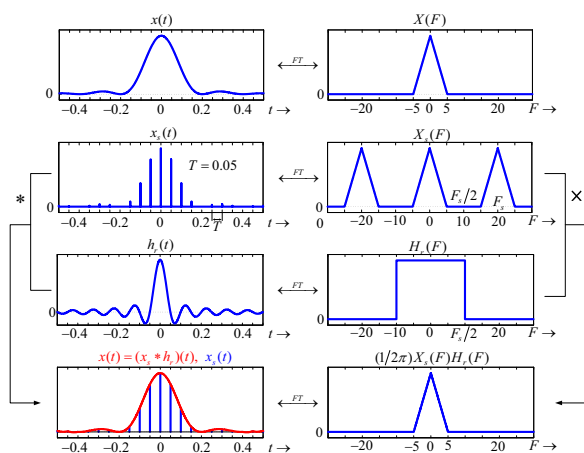
Obnavljanje ili rekonstrukcija vremenski kontinuiranog signala iz vremenski diskretnog – idealnim filtrom

- postupku filtracije odgovara produkt spektra signala i frekvencijske karakteristike rekonstrukcijskog filtra u frekvencijskoj domeni
- u vremenskoj domeni tomu odgovara konvolucija otipkanog signala i impulsnog odziva filtra
- naredna prikaznica je ilustracija obnavljanja ili rekonstrukcije vremenski kontinuiranog signala iz vremenski diskretnog – idealnim filtrom
- graf u donjem lijevom kutu prikaznice pokazuje rekonstruirani signal (crveno)

40



Obnavljanje ili rekonstrukcija vremenski kontinuiranog signala iz vremenski diskretnog – idealnim filtrom

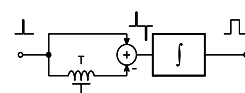


41

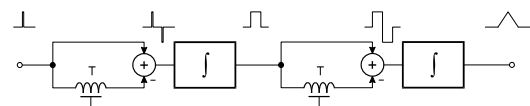


Interpolatori nultog i prvog reda

- interpolatori nultog i prvog reda mogu se jednostavno realizirati realnim sustavima
- interpolator nultog reda dan je blokovskim dijagramom



a interpolator prvog reda blokovskim dijagramom



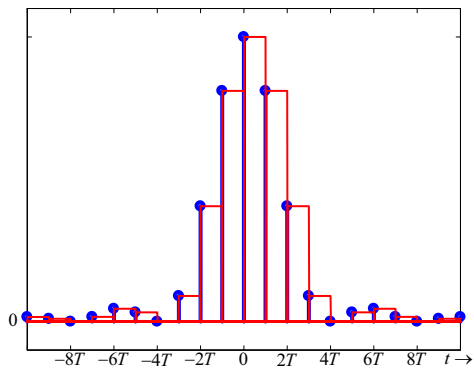
- njihova primjena ilustrirana je na naredne tri prikaznice

42



Obnavljanje ili rekonstrukcija vremenski kontinuiranog signala iz vremenski diskretnog – interpolator nultog reda

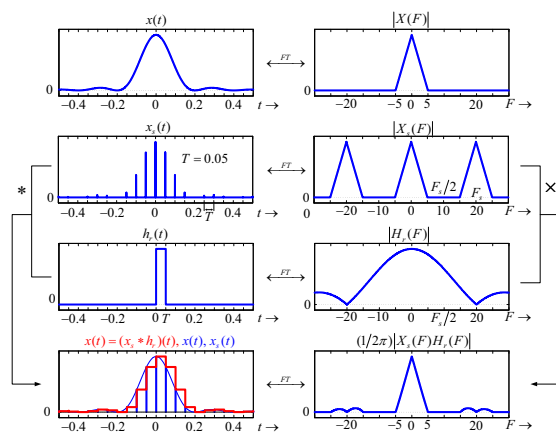
- interpolacija vremenski diskretnog signala interpolatorom nultog reda dana je na slici



43



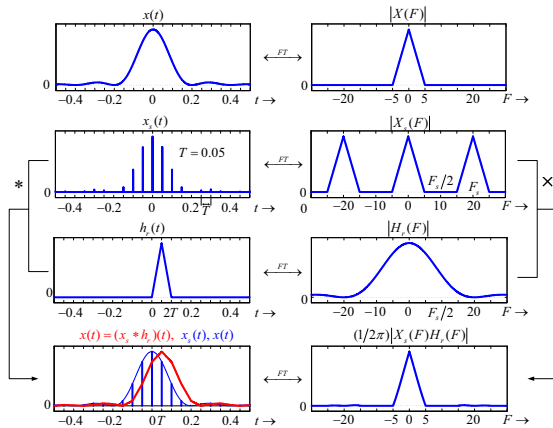
Obnavljanje ili rekonstrukcija vremenski kontinuiranog signala iz vremenski diskretnog – interpolator nultog reda



44



Obnavljanje ili rekonstrukcija vremenski kontinuiranog signala iz vremenski diskretnog – interpolator prvog reda



45



Otpikavanje vremenski kontinuiranih signala frekvencijski neomeđenog spektra

- u praksi, mnogi signali nisu frekvencijski omeđeni
- otipkavanjem takvih signala pojavljuje se aliasing i time pojava greške kod rekonstrukcije otipkanog signala
- da bi se ta greška smanjila potrebno je, prije otipkavanja, takve signale frekvencijski omeđiti
- ovo je moguće korištenjem tzv. analognih prefiltara⁷ koje obično nazivamo antialiasing filtri
- postupak omeđenja spektra ilustriran je narednim prikaznicama

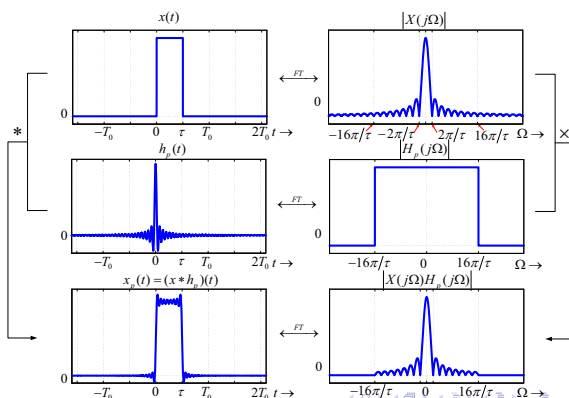
⁷Analogni prefiltar – filtracija analognog signala prije postupka otipkavanja

46



Idealni antialiasing filtar

- pokazuje se omeđenje spektra - analogna prefiltracija idealnim analognim prefiltrom

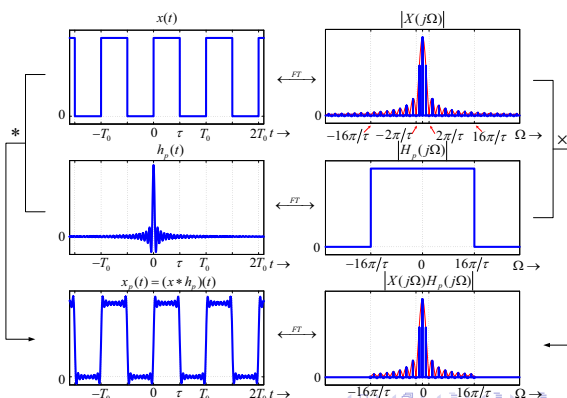


47



Idealni antialiasing filtar

- analogna prefiltracija, periodičnog signala, idealnim analognim prefiltrom (Gibbsova pojava – pravokutni otvor)

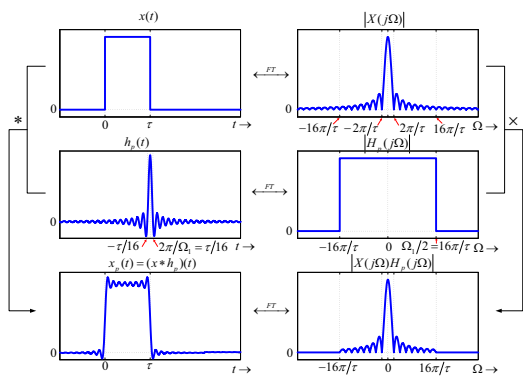


48



Idealni antialiasing filter

- razmotrimo još jednom primjenu idealnog antialiasing filtra na aperiodičan vremenski kontinuiran pravokutni impuls

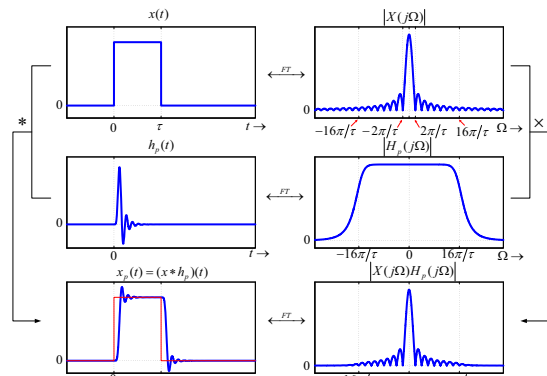


49



Realni antialiasing filter

- idealni antialiasing filter ima nekauzalni impulsni odziv i kao antialiasing filtre koristimo realne filtre

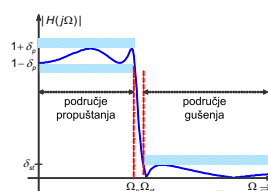


50



Antialiasing filteri

- aliasing koji se javlja pri otipkavanju frekvencijski neomeđenog signala, izbjegava se filtriranjem kontinuiranog signala tzv. antialiasing filtrom
- antialiasing filteri su niskopropusni analogni filteri koji propuštaju komponente spektra frekvencija nižih od pola frekvencije otipkavanja, dok više guše
- koriste se realni filteri koji imaju konačnu širinu prijelaznog pojasa frekvencijske karakteristike i konačno gušenje u pojasu gušenja



51



Antialiasing filteri

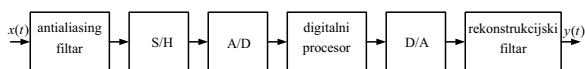
- zbog konačne širine prijelaznog područja realnih antialiasing filterara potrebno je signal otipkavati nešto većom frekvencijom od dvostruke maksimalne frekvencije signala
- kod digitalne obradbe glazbenih signala, čije frekvencijsko područje širine 20kHz osigurava visoko vjernu reprodukciju, frekvencija otipkavanja (kod CD npr.) je 44.1 kHz što je dakle nešto više od dvostruke maksimalne frekvencije

52



Digitalna obradba vremenski kontinuiranog signala

- lanac sklopova potrebnih za digitalnu obradbu vremenski kontinuiranih signala prikazan je blok dijagramom⁸



⁸S/H – sample-and-hold sklop; D/A – digitalno analogni pretvornik; A/D – digitalno analogni pretvornik

53



Diskretizacija kontinuiranoga spektra

- spektar aperiodičnih kontinuiranih signala je kontinuiran
- spektar aperiodičnih diskretnih signala također je kontinuiran i još k tome i periodičan
- ovdje se razmatra postupak otipkavanja spektra tj. diskretizacija u frekvencijskoj domeni
- postupak koji ćemo ovdje primijeniti identičan je postupku primjenjenom kod otipkavanja vremenski kontinuiranih signala

54



Diskretizacija kontinuiranoga spektra

- diskretizaciju kontinuiranog spektra možemo interpretirati kao modulaciju impulsnog niza

$$\delta_{\Omega_o}(\Omega) = \sum_{k=-\infty}^{\infty} \delta(\Omega - k\Omega_o),$$

funkcijom $X(j\Omega)$, dakle,:

$$X_d(j\Omega) = X(j\Omega) \sum_{k=-\infty}^{\infty} \delta(\Omega - k\Omega_o) = \sum_{k=-\infty}^{\infty} X(jk\Omega_o) \delta(\Omega - k\Omega_o)$$

- periodičan niz $\delta_{\Omega_o}(\Omega)$ nastaje ponavljanjem delta funkcije svakih Ω_o , i kao svaka periodična funkcija se daje predstaviti Fourierovim redom:

$$\delta_{\Omega_o}(\Omega) = \sum_{n=-\infty}^{\infty} c_n e^{jnT_p\Omega}, \quad T_p = \frac{2\pi}{\Omega_o}$$



Diskretizacija kontinuiranoga spektra

- koeficijenti prethodnog Fourierovog reda su

$$c_n = \frac{1}{\Omega_o} \int_{-\Omega_o/2}^{\Omega_o/2} \delta(\Omega) e^{-jnT_p\Omega} d\Omega = \frac{1}{\Omega_o}$$

- pa se δ_{Ω_o} može prikazati i kao

$$\delta_{\Omega_o}(\Omega) = \frac{1}{\Omega_o} \sum_{n=-\infty}^{\infty} e^{jnT_p\Omega}$$

odnosno $X_d(j\Omega)$ kao

$$X_d(j\Omega) = X(j\Omega) \delta_{\Omega_o}(\Omega) = \frac{1}{\Omega_o} X(j\Omega) \sum_{n=-\infty}^{\infty} e^{jnT_p\Omega}$$



Diskretizacija kontinuiranoga spektra

- inverznom Fourierovom $X_d(j\Omega)$ dobiva se kontinuirani signal $x_d(t)$ koji odgovara otipkanom spektru

$$\begin{aligned} x_d(t) &= \frac{1}{2\pi} \int_{-\infty}^{\infty} X_d(j\Omega) e^{j\Omega t} d\Omega = \\ &= \frac{1}{2\pi} \int_{-\infty}^{\infty} \left[\frac{1}{\Omega_o} X(j\Omega) \sum_{n=-\infty}^{\infty} e^{jnT_p\Omega} \right] e^{j\Omega t} d\Omega = \\ &= \frac{1}{\Omega_o} \sum_{n=-\infty}^{\infty} \underbrace{\frac{1}{2\pi} \int_{-\infty}^{\infty} X(j\Omega) e^{j\Omega(t+nT_p)} d\Omega}_{x(t+nT_p)} \Rightarrow \end{aligned}$$

$$x_d(t) = \frac{1}{\Omega_o} \sum_{n=-\infty}^{\infty} x(t + nT_p)$$

dakle, otipkavanje kontinuiranog spektra $X(j\Omega)$, signala $x(t)$, rezultira u njegovom periodičnom ponavljanju svakih $T_p = \frac{2\pi}{\Omega_o}$.
 \Rightarrow moguć aliasing u vremenskoj domeni



Obnavljanje kontinuiranog spektra iz diskretnog

- uz $X_d(j\Omega)$ prikazan kao:

$$X_d(j\Omega) = X(j\Omega) \sum_{k=-\infty}^{\infty} \delta(\Omega - k\Omega_o) = \sum_{k=-\infty}^{\infty} X(jk\Omega_o) \delta(\Omega - k\Omega_o)$$

$x_d(t)$ dobivamo inverznom transformacijom kao:

$$\begin{aligned} x_d(t) &= \frac{1}{2\pi} \int_{-\infty}^{\infty} X_d(j\Omega) e^{j\Omega t} d\Omega = \\ &= \frac{1}{2\pi} \int_{-\infty}^{\infty} \left[\sum_{k=-\infty}^{\infty} X(jk\Omega_o) \delta(\Omega - k\Omega_o) \right] e^{j\Omega t} d\Omega = \\ &= \frac{1}{2\pi} \sum_{k=-\infty}^{\infty} X(jk\Omega_o) \int_{-\infty}^{\infty} \delta(\Omega - k\Omega_o) e^{j\Omega t} d\Omega = \\ x_d(t) &= \frac{1}{2\pi} \sum_{k=-\infty}^{\infty} X(jk\Omega_o) e^{jk\Omega_o t}, \quad \Omega_o = \frac{2\pi}{T_p} \end{aligned}$$



Obnavljanje kontinuiranog spektra iz diskretnog

- $x_d(t)$ je periodična funkcija prikazana Fourierovim redom
- rekonstrukciju kontinuiranog spektra realizira se izdvajanjem samo osnovne sekcije od $x_d(t)$ što se postiže množenjem $x_d(t)$ s idealnim pravokutnim otvorom u vremenskoj domeni

$$w(t) = \begin{cases} 1 & |t| < T_p/2 \\ 0 & |t| > T_p/2 \end{cases}$$

čiji je spektar:

$$W(j\Omega) = T_p \frac{\sin(\Omega T_p/2)}{\Omega T_p/2} = T_p \frac{\sin(\pi\Omega/\Omega_o)}{\pi\Omega/\Omega_o}$$



Obnavljanje kontinuiranog spektra iz diskretnog

- prvu sekciju signala dobivamo množenjem s $w(t)$:

$$x_d(t)w(t) = \frac{1}{\Omega_o} x(t) = \left[\frac{1}{2\pi} \sum_{k=-\infty}^{\infty} X(jk\Omega_o) e^{jk\Omega_o t} \right] w(t)$$

- spektar $X(j\Omega)$, izražen uz pomoć $X(jk\Omega_o)$, slijedi iz

$$\begin{aligned} X(j\Omega) &= \int_{-\infty}^{\infty} x(t) e^{-j\Omega t} dt = \\ &= \int_{-\infty}^{\infty} \left[\frac{\Omega_o}{2\pi} \sum_{k=-\infty}^{\infty} X(jk\Omega_o) e^{jk\Omega_o t} \right] w(t) e^{-j\Omega t} dt = \\ &= \frac{\Omega_o}{2\pi} \sum_{k=-\infty}^{\infty} X(jk\Omega_o) \int_{-T_p/2}^{T_p/2} e^{-j(\Omega - k\Omega_o)t} dt \Rightarrow \end{aligned}$$



Obnavljanje kontinuiranog spektra iz diskretnog

- pa je spektar $X(j\Omega)$, izražen uz pomoć $X(jk\Omega_o)$,

$$X(j\Omega) = \sum_{k=-\infty}^{\infty} X(jk\Omega_o) \frac{\sin(\pi(\Omega - k\Omega_o)/\Omega_o)}{\pi(\Omega - k\Omega_o)/\Omega_o}$$

dakle, spektar je $X(j\Omega)$ jednoznačno određen iz njegovih uzoraka $X(jk\Omega_o)$ interpolacijom s funkcijom

$$W(j\Omega) = T_p \frac{\sin(\Omega T_p/2)}{\Omega T_p/2} = T_p \frac{\sin(\pi\Omega/\Omega_o)}{\pi\Omega/\Omega_o}$$

Zaključak: kontinuirani spektar signala koji ima omeđeno trajanje, $x(t) = 0$ za $|t| > T_p/2$, jednoznačno je određen svojim uzorcima na jednoliko raspoređenim frekvencijama $\Omega_k = k\Omega_o = k/T_p$



Numeričko izračunavanje Fourierove transformacije

